

ЛОКАЛЬНЫЕ ПОВЕРХНОСТНЫЕ ПЛАЗМОНЫ И РЕЗОНАНСНЫЙ МЕХАНИЗМ ГИГАНТСКОЙ ВТОРОЙ ГАРМОНИКИ

*O.A. Акципетров, Е.М. Дубинина, С.С. Еловиков, Е.Д. Мишина,
А.А. Никулин, Н.Н. Новикова, М.С. Стребков*

Прямыми изменениями параметров коллективного электронного резонанса системы малых металлических частиц при изменении диэлектрических свойств окружающей среды установлен вклад электромагнитного механизма в усиление гигантской второй гармоники в островковых пленках.

Для объяснения явлений гигантского комбинационного рассеяния света (ГКР) и гигантской второй гармоники (ВГ) в ультрадисперсных металлических системах предложены два основных типа механизмов поверхностного усиления. Прежде всего это электромагнитный (ЭМ) ("классический") механизм, связанный с возрастанием напряженности электрического поля накачки при возбуждении в металлических гранулах локальных поверхностных плазмонов (ПП)¹. К другому типу относятся молекулярно-адсорбционные (МА) механизмы, связывающие поверхностное усиление с шероховатостью атомного масштаба и появлением дополнительных полос в электронном спектре системы адсорбат–металл².

И электромагнитные и молекулярно-адсорбционные механизмы имеют резонансный характер, поэтому изучение спектров возбуждения ГКР и гигантской ВГ само по себе не позволяет разделить вклады этих механизмов в усиление. Существенно большую информацию может дать экспериментальное изменение резонансных свойств самой усиливающей структуры. Резонансная частота и добротность МА резонанса в первую очередь определяются химическими свойствами системы молекула–металл и слабо поддаются внешнему воздействию. Иначе обстоит дело с резонансом локальных ПП: изменения комплексную диэлектрическую проницаемость окружающей среды, можно изменять параметры коллективного электронного резонанса системы малых металлических частиц, что позволит определить вклад ЭМ механизма в поверхностное усиление.

С этой целью нами исследовался процесс генерации гигантской ВГ для островковых пленок серебра, термически напыленных в высоком вакууме на полупроводниковую подложку с большой диэлектрической проницаемостью в видимом диапазоне (германий, кремний). Для контролируемого влияния подложки на частоту и добротность резонанса ПП между островковой пленкой и монокристаллом полупроводника предварительно напылялся диэлектрический слой переменной толщины $d \sim (0 \div 1000) \text{ \AA}$ моноокиси кремния в виде ступенчатого клина (см. вставку на рис. 1). Схема наблюдения гигантской ВГ аналогична использованной в работе³.

На рис. 1 приведена экспериментальная зависимость интенсивности гигантской ВГ $I_{2\omega}$ от величины d . При толщинах диэлектрического клина $d > 500 \text{ \AA}$ зависимость $I_{2\omega}(d)$ выходит на насыщение. Величина интенсивности в насыщении $I_{2\omega}(\infty)$, на которую нормируются значения $I_{2\omega}(d)$, различна для германиевой кремниевой подложек, причем $I_{2\omega}^{\text{Si}}(\infty)/I_{2\omega}^{\text{Ge}}(\infty) \sim (1,5 \pm 0,3)$. При уменьшении d до нуля (точнее до толщины пленки естественного окисла полупроводника $\sim 20 \text{ \AA}$) интенсивность ВГ уменьшается в $1,5 \cdot 10^2$ раз по сравнению с $I_{2\omega}(\infty)$. Существенно, что для некоторых образцов островковых пленок перед выходом $I_{2\omega}(d)$ на насыщение наблюдается максимум интенсивности ВГ – рис. 2.

Для объяснения полученных зависимостей рассмотрим выражение

$$I_{2\omega} \sim (nv)^2 c(2\omega) \langle |\chi^{(2)} L(2\omega) L^2(\omega)|^2 \rangle I_\omega^2 ,$$

где n , v , $\chi^{(2)}$ – поверхностная плотность, средний объем и квадратичная восприимчивость островков серебра; I_{ω} – плотность мощности накачки; L – фактор локального поля (ФЛП), связанный с усилением поля накачки при резонансном возбуждении ПП; угловые скобки обозначают усреднение по случайным параметрам – форме, размеру частиц и др.;

$\alpha(2\omega)$ – нерезонансный множитель, учитывающий вклад в интенсивность ВГ от поляризации подложки на удвоенной частоте, наведенной изображением нелинейных диполей островков. На резонансные свойства ФЛП существенно влияет взаимодействие островков с окружением, в том числе и с подложкой. Таким образом, зависимость $I_{2\omega}(d)$ определяется зависимостью $L(d)$.

$$I_{2\omega}(d)/I_{2\omega}(\infty)$$

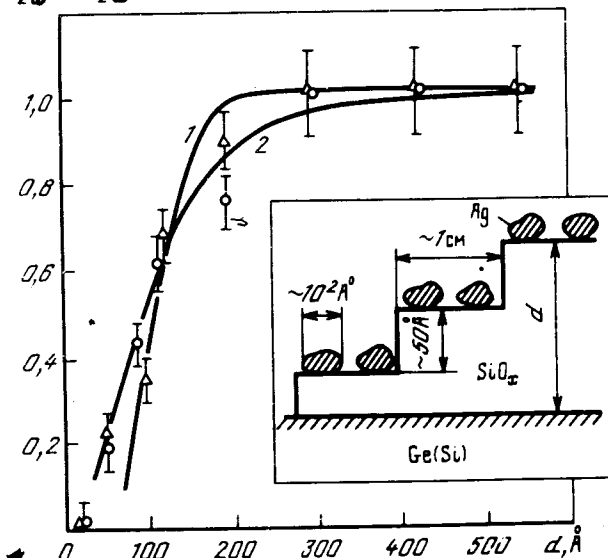


Рис. 1. Экспериментальные зависимости интенсивности гигантской ВГ от толщины диэлектрического клина для германиевой (▲) и кремниевой (○) подложек. Сплошные линии – расчетные зависимости для следующих значений параметров: $\epsilon_0(2\omega) = -11,8 + i 0,37$; $\epsilon_2 = 2$; кривая 1 (германий) – $\epsilon_1(2\omega) = -19,3 + i 21$, $x = 4,08$, $n = 10^{10} \text{ см}^{-2}$; кривая 2 (кремний) – $\epsilon_1(2\omega) = 17 + i 0,4$, $x = 6,67$, $n = 10^{11} \text{ см}^{-2}$. На вставке указаны геометрические параметры образцов

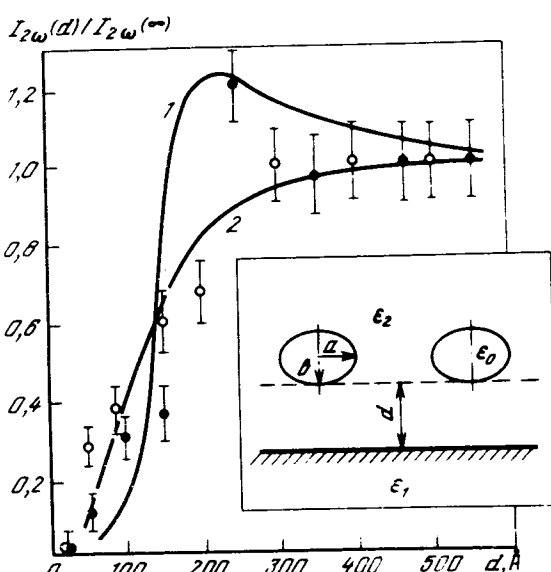


Рис. 2. Точками приведены экспериментальные зависимости интенсивности гигантской ВГ от толщины диэлектрического клина для двух типов островковых пленок на кремниевой подложке. Сплошные линии – расчетные зависимости для следующих значений параметров: ϵ_0 , ϵ_1 , ϵ_2 – аналогичны параметрам рис. 1; кривая 1 – $x = 4,04$, $n = 1,5 \cdot 10^{10} \text{ см}^{-2}$; кривая 2 – $x = 5,71$, $n = 10^{11} \text{ см}^{-2}$. На вставке указаны параметры модельной системы

В качестве модели для расчета $\alpha(2\omega)$ и $\langle L(d) \rangle$ рассмотрим плоский слой сплюснутых эллипсоидов вращения с полуосами a и b (ось цилиндрической симметрии эллипсоидов нормальна к плоскости слоя), расположенный в однородной среде на расстоянии d от полупроводниковой подложки (вставка на рис. 2). Учитывая дополнительные источники из

лучения ВГ, возникающие за счет отраженных в подложке диполей на частоте 2ω и, учитывая в рамках теории среднего поля Лоренца взаимодействие эллипсоидов друг с другом и с подложкой, в электростатическом приближении ($a, b \ll n^{-1/2} \ll \lambda; a, b \ll d \ll \lambda$) получим

$$\langle L_\alpha(\omega, d) \rangle = [L_{0\alpha}^{-1}(\omega) + P_\alpha(\omega) + Q_\alpha(\omega, d)]^{-1}, \quad (1)$$

$$c_\alpha(2\omega) = |1 + \sigma_\alpha(\epsilon_1(2\omega) - \epsilon_2)/(\epsilon_1(2\omega) + \epsilon_2)|^2, \quad (2)$$

где $L_{0\alpha}^{(\omega)} = [\epsilon_2 + N_\alpha(x)/(\epsilon_0(\omega) - \epsilon_2)]^{-1}$ – ФЛП одиночного эллипсоида,

$$P_\alpha(\omega) = \frac{\pi}{6} \Delta_\alpha n a b (\epsilon_0(\omega) - \epsilon_2); \quad Q_\alpha(\omega, d) = \frac{\pi a^2 b}{6d} \left(\frac{-1}{d^2} + 4n\delta_\alpha \right) \frac{(\epsilon_1(\omega) - \epsilon_2)(\epsilon_0(\omega) - \epsilon_2)}{(\epsilon_1(\omega) + \epsilon_2)}$$

– члены, учитывающие взаимодействие с соседними частицами и подложкой соответственно; $x = a/b$, $N_\alpha(x)$ – фактор деполяризации⁴; $\epsilon_0(\omega)$, $\epsilon_1(\omega)$, $\epsilon_2 = \text{const}$ – диэлектрические проницаемости вещества эллипсоидов, полупроводниковой подложки и окружающей среды соответственно; $\alpha = \perp, \parallel$, $\Delta_\perp = 2$, $\sigma_\alpha = (1 + 2\delta_\alpha)$, $\Delta_\parallel = -1$, $\delta_\perp = 0$, $\delta_\parallel = -1$. Индекс \perp (\parallel) соответствует электрическому полю, перпендикулярному (параллельному) плоскости пленки. Зависимость ФЛП от d наиболее существенна в окрестности резонанса. Числовые оценки для исследованных образцов ($x > 1$) и длин волн $\lambda_\omega = 1,06 \text{ мкм}$, $\lambda_{2\omega} = 0,53 \text{ мкм}$ показывают, что резонанс возможен лишь для $L_\parallel(2\omega)$. В резонансе $c_\parallel |L_\parallel|^2 \sim \sim c_\perp |L_\perp|^2$, несмотря на то, что для германия и кремния $c_\parallel(2\omega) \sim 10^{-2} \ll 1$ и $c_\perp(2\omega) \sim 1$. В этом случае для любой поляризации излучения накачки приближенно можно считать, что $I_{2\omega}(d)/I_{2\omega}(\infty) = |\langle L_\parallel(2\omega, d) \rangle|^2 / |\langle L_\parallel(2\omega, d \rightarrow \infty) \rangle|^2$.

На рис. 1, 2 сплошными кривыми приведены результаты расчетов зависимости $I_{2\omega}(d)$: $I_{2\omega}(\infty)$ с подгонкой значений параметров x, n островковых пленок. Хорошее совпадение расчетных и экспериментальных зависимостей показывает, что усиление действительно определяется резонансом $L_\parallel(2\omega)$, а уменьшение $I_{2\omega}$ при $d \rightarrow 0$ связано с выходом ФЛП из резонанса с частотой ВГ из-за влияния подложки. Два типа зависимостей $I_{2\omega}(d)$ на рис. 2 определяются различным начальным (при $d \rightarrow \infty$) положением резонанса ФЛП относительно частоты ВГ. Если до взаимодействия с подложкой резонансная частота ФЛП сдвинута в красную область относительно 2ω , то наблюдаются монотонные зависимости, если сдвиг в синюю сторону, то кривая $I_{2\omega}(d)$ имеет максимум. Для резонансного значения ФЛП имеем $L^2(2\omega) \approx 1,5 \cdot 10^2$. Отметим также, что расчетное значение отношения $I_{2\omega}^{\text{Si}}(\infty)/I_{2\omega}^{\text{Ge}}(\infty) = c_\parallel^{\text{Si}}/c_\parallel^{\text{Ge}} \approx 2$ хорошо совпадает с экспериментальным, и сильное различие в значениях $\text{Im}\epsilon_1(2\omega)$ для германия и кремния не сказывается, как показывают измерения и расчеты, на зависимости $I_{2\omega}(d)$.

Полученное значение $L(2\omega)$ позволяет оценить вклад ЭМ механизма в усиление ГКР на островковых пленках. Интенсивность гигантского КР определяется выражением $I^{\text{Kp}} \sim \sim c(2\omega) L^4(\omega_L) I_\omega$. Поскольку в экспериментах по ГКР, как правило, частота накачки $\omega_L \approx 2\omega$, из наших оценок для $L^2(2\omega)$ следует, что изменение $I^{\text{Kp}}(d)$ в аналогичных условиях будет составлять $\sim 2 \cdot 10^4$ раз, что несколько выше, чем в работе⁵.

Таким образом, непосредственным изменением резонансных свойств коллективного электронного резонанса ультрадисперской металлической системы впервые выделен собственно электромагнитный вклад в поверхностное усиление гигантской ВГ для островковых пленок серебра.

В заключение авторы благодарят Л.В.Келдыша за полезные обсуждения результатов работы.

Литература

1. *Moscovits M.* J. Chem. Phys., 1978, **69**, 4159.
2. *Otto A.* Light Scattering in Solids, v. IV. Berlin; Springer, 1984.
3. *Акцинетров О.А. и др.* Письма в ЖЭТФ, 1985, **41**, 505.
4. *Ландау Л.Д., Лифшиц Е.М.* Электродинамика сплошных сред. М. : Наука, 1982.
5. *Lyon S.A., Worlock J.M.* Phys. Rev. Lett., 1983, **51**, 593.

Московский государственный университет
им. М.В.Ломоносова

Поступила в редакцию
1 июня 1988 г.